

## ノイズを考慮した接触パラメータの同定\*

山田 貴孝<sup>\*1</sup>, 毛利 哲也<sup>\*2</sup>  
三村 宣治<sup>\*3</sup>, 舟橋 康行<sup>\*1</sup>

## Identification of Contact Conditions from Contaminated Data

Takayoshi YAMADA, Tetsuya MOURI,  
Nobuharu MIMURA and Yasuyuki FUNAHASHI

When the grasped object is in contact with external environment, it is necessary to perform the assembly tasks with identification of contact conditions. In the previous paper, we proposed an algorithm for the identification by using pure data. This paper treats the case when the data are contaminated with noise. We provide mutual relationships among criteria, and clarify properties of the criteria. We establish an algorithm for the identification.

**Key Words:** Robot Hand, Multi-Fingered Hand, Contact Point, Parameter Identification, Unknown Contact Condition, Contaminated Data

## 1. 緒言

今日、生産ラインの自動化に伴い、多くのロボットが生産現場に導入されている。しかし、プレイバック式の位置制御の産業用ロボットであるため、対象物の位置誤差を許容できない。このため組立のように把握対象物と外部環境との間で接触が生じ、作業目標と異なった接触状態に陥った場合、どの接触状態にあるのか判別がつかず、作業を完遂することができない。これに対し、人間は手先の感覚(力覚)だからでも接触状態を判別し作業を完了できる。そこで、人間が無意識に行っているそれをロボットに応用し、接触状態を判別することは自動化のために重要である。

これまでに、複数回のセンシング動作(アクティブセンシング)を利用し、形状が未知である対象物の接触位置を検出する方法を永田<sup>(1)</sup>、北垣<sup>(2)</sup>、三村<sup>(3)</sup>および舟橋<sup>(4)</sup>らが提案している。しかし、これらの方法では、摩擦のある点接触の場合のみを対象としている。そこで著者ら<sup>(5)(6)</sup>は点接触以外の接触状態としてソフ

トフィンガ接触、線接触、面接触をも同定する問題を考察し、形状が未知である対象物の接触点位置および接触状態が検出できることを明らかにした。各接触状態の拘束条件を考慮した定式化を行い、必要な計測回数との関係から、接触状態を効率よく同定するアルゴリズムを提案した。文献(5)、(6)では計測データにノイズ等を含まない場合を考察している。

本報では、計測データにノイズ等が含まれている場合の接触状態の同定問題を考察する。ノイズを含む場合、次の考え方で接触状態を同定する。まず、接触状態に対応する評価関数を与える。次にこの評価関数を最小にするパラメータを求め、このパラメータにおいて評価関数が最小になる接触状態を求めることがある。ところが、点、ソフトフィンガ、線、面接触になるに従い未知パラメータの数が増え、評価関数の値は小さくなる。この点を考慮して、接触状態の同定問題を考える。

まず2章において問題の設定を行う。3章では接触状態に対応する評価関数を与え、未知接触パラメータを求める。接触状態を表現する方程式が線形の場合には最小二乗法により未知パラメータを求める。また、非線形の場合には文献(6)の方法で初期値を求めた後、評価関数を最小化する未知パラメータを繰返しの

\* 原稿受付 1997年4月22日。

<sup>\*1</sup> 正員、名古屋工業大学 (〒466-8555 名古屋市昭和区御器所町)。<sup>\*2</sup> 学生員、名古屋工業大学大学院。<sup>\*3</sup> 正員、新潟大学 (〒950-2181 新潟市五十嵐二の町 8050)。





触①の場合の評価関数は

$$\begin{aligned} J_{l1} &= \frac{1}{k} \sum_{i=1}^k \|A_i \mathbf{x} + \begin{bmatrix} 1 & 0 & 0 \\ 0 & 1 & 0 \end{bmatrix}^T \begin{bmatrix} z_{i1} \\ z_{i2} \end{bmatrix} - \mathbf{b}_i\|^2 \\ &= \frac{1}{k} \sum_{i=1}^k \|A_{i1} \mathbf{x} + z_{i1} - b_{i1}\|^2 + \frac{1}{k} \sum_{i=1}^k \|A_{i2} \mathbf{x} \\ &\quad + z_{i2} - b_{i2}\|^2 + \frac{1}{k} \sum_{i=1}^k \|A_{i3} \mathbf{x} - b_{i3}\|^2 \dots \dots \dots (25) \end{aligned}$$

となる。 $J_{l1}$  の最小解は

$$\hat{z}_{i1} = b_{i1} - A_{i1} \hat{\mathbf{x}} \dots \dots \dots (26)$$

$$\hat{z}_{i2} = b_{i2} - A_{i2} \hat{\mathbf{x}} \dots \dots \dots (27)$$

$$\left( \sum_{i=1}^k A_{i3}^T A_{i3} \right) \hat{\mathbf{x}} = \sum_{i=1}^k A_{i3}^T b_{i3} \dots \dots \dots (28)$$

の解として与えられる。しかし、式(28)は

$$\begin{bmatrix} * & * & 0 \\ * & * & 0 \\ 0 & 0 & 0 \end{bmatrix} \begin{bmatrix} \hat{x}_1 \\ \hat{x}_2 \\ \hat{x}_3 \end{bmatrix} = \begin{bmatrix} * \\ * \\ 0 \end{bmatrix}$$

の形をしている。したがって、 $\hat{x}_1, \hat{x}_2$  は一意に決まるが、 $\hat{x}_3$  は任意の実数  $t$  で式(28)が成り立つ。つまり、接觸線は次のようになる。

$$\hat{\mathbf{x}} = \begin{bmatrix} \left( \sum_{i=1}^k \tilde{A}_{i3}^T \tilde{A}_{i3} \right)^{-1} \sum_{i=1}^k \tilde{A}_{i3}^T b_{i3} \\ 0 \end{bmatrix} + \begin{bmatrix} 0 \\ 0 \\ 1 \end{bmatrix} t \dots \dots \dots (29)$$

ただし、

$$A_{i3} = [\tilde{A}_{i3} \quad 0]$$

とする。これは接觸点が接觸線上で任意に設定できることに一致する。

**3・3・2 線接觸②の場合** 式(9), (13)より、線接觸②の場合の評価関数は

$$\begin{aligned} J_{l2} &= \frac{1}{k} \sum_{i=1}^k \|A_i \mathbf{x} + \begin{bmatrix} 1 & 0 & 0 \\ 0 & y & 1 \end{bmatrix}^T \begin{bmatrix} z_{i1} \\ z_{i2} \end{bmatrix} - \mathbf{b}_i\|^2 \\ &= \frac{1}{k} \sum_{i=1}^k \|A_{i1} \mathbf{x} + z_{i1} - b_{i1}\|^2 + \frac{1}{k} \sum_{i=1}^k \|\bar{A}_i \mathbf{x} \\ &\quad + [y \quad 1]^T z_{i2} - \bar{\mathbf{b}}_i\|^2 \dots \dots \dots (30) \end{aligned}$$

となる。第1項を最小にする  $z_{i1}$  は

$$z_{i1} = b_{i1} - A_{i1} \mathbf{x}$$

である。まず、 $z_{i2}$  について最小化すれば

$$(y^2 + 1) z_{i2} = y(b_{i2} - A_{i2} \mathbf{x}) + (b_{i3} - A_{i3} \mathbf{x}) \dots \dots \dots (31)$$

となる。 $J_{l2}$  の第2項は次のように変形される。

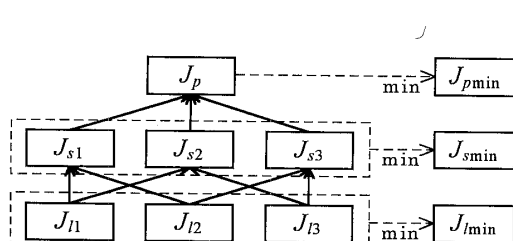


Fig. 2 Relationship of criteria

$$\frac{1}{k} \sum_{i=1}^k \left\| \begin{bmatrix} A_{i2} & z_{i2} \\ A_{i3} & 0 \end{bmatrix} \begin{bmatrix} \mathbf{x} \\ y \end{bmatrix} - \begin{bmatrix} b_{i2} \\ b_{i3} - z_{i2} \end{bmatrix} \right\|^2$$

したがって、 $J_{l2}$  を最小にする  $\mathbf{x}, y$  は

$$\begin{bmatrix} \sum_{i=1}^k \bar{A}_i^T \bar{A}_i & \sum_{i=1}^k A_{i2}^T z_{i2} \\ \sum_{i=1}^k A_{i2} z_{i2} & \sum_{i=1}^k z_{i2}^2 \end{bmatrix} \begin{bmatrix} \mathbf{x} \\ y \end{bmatrix} = \begin{bmatrix} \sum_{i=1}^k (\bar{A}_i^T \bar{\mathbf{b}}_i - A_{i3}^T z_{i2}) \\ \sum_{i=1}^k b_{i2} z_{i2} \end{bmatrix} \dots \dots \dots (32)$$

となる。ソフトフィンガ接觸②と同様の手順で未知パラメータを推定する。

**3・3・3 線接觸③の場合** 式(10), (13)より、線接觸③の場合の評価関数は

$$J_{l3} = \frac{1}{k} \sum_{i=1}^k \|A_i \mathbf{x} + \begin{bmatrix} y_1 & 1 & 0 \\ y_2 & 0 & 1 \end{bmatrix}^T \begin{bmatrix} z_{i1} \\ z_{i2} \end{bmatrix} - \mathbf{b}_i\|^2 \dots \dots \dots (33)$$

となる。 $z_{i1}, z_{i2}$  について最小化すると

$$\begin{aligned} & \begin{bmatrix} y_1^2 + 1 & y_1 y_2 \\ y_1 y_2 & y_2^2 + 1 \end{bmatrix} \begin{bmatrix} z_{i1} \\ z_{i2} \end{bmatrix} \\ &= \begin{bmatrix} (y_1 A_{i1} + A_{i2}) \mathbf{x} - (y_1 b_{i1} + b_{i2}) \\ (y_2 A_{i1} + A_{i3}) \mathbf{x} - (y_2 b_{i1} + b_{i3}) \end{bmatrix} \dots \dots \dots (34) \end{aligned}$$

を得る。また  $J_{l3}$  は次のように変形される。

$$J_{l3} = \frac{1}{k} \sum_{i=1}^k \left\| \begin{bmatrix} A_{i1} & z_{i1} & z_{i2} \\ A_{i2} & 0 & 0 \\ A_{i3} & 0 & 0 \end{bmatrix} \begin{bmatrix} \mathbf{x} \\ y_1 \\ y_2 \end{bmatrix} - \begin{bmatrix} b_{i1} \\ b_{i2} - z_{i1} \\ b_{i3} - z_{i2} \end{bmatrix} \right\|^2$$

したがって、 $\mathbf{x}, y_1, y_2$  についての最小化の式は次のようになる。

$$\begin{bmatrix} \sum_{i=1}^k A_i^T A_i & \sum_{i=1}^k A_{i1}^T z_{i1} & \sum_{i=1}^k A_{i2}^T z_{i2} \\ \sum_{i=1}^k A_{i1} z_{i1} & \sum_{i=1}^k z_{i1}^2 & \sum_{i=1}^k z_{i1} z_{i2} \\ \sum_{i=1}^k A_{i2} z_{i2} & \sum_{i=1}^k z_{i1} z_{i2} & \sum_{i=1}^k z_{i2}^2 \end{bmatrix} \begin{bmatrix} \mathbf{x} \\ y_1 \\ y_2 \end{bmatrix} = \begin{bmatrix} \sum_{i=1}^k (A_i^T \bar{\mathbf{b}}_i - A_{i2}^T z_{i1} - A_{i3}^T z_{i2}) \\ \sum_{i=1}^k b_{i1} z_{i1} \\ \sum_{i=1}^k b_{i1} z_{i2} \end{bmatrix} \dots \dots \dots (35)$$

ソフトフィンガ接觸②と同様の手順で未知パラメータを推定する。

#### 4. 接触状態の判別

真の接觸状態が2・3節で挙げた八つの接觸状態のいずれであるか未知であるとき、計測データより接觸状態を判別する方法を示す。

**4・1 評価関数の関係** 2・3節の  $n_{ci}$  の表現から評価関数の大小関係を調べる。ただし、最小化したと



Table 2 Distribution of optimal contact conditions with  $\sigma=0.05$ 

data	P	S1	S2	S3	L1	L2	L3	Pl
Point	100	0	0	0	0	0	0	0
Soft 1	0	60	13	27	0	0	0	0
Soft 2	0	0	78	22	0	0	0	0
Soft 3	0	0	0	100	0	0	0	0
Line 1	0	0	0	0	57	18	25	0
Line 2	0	0	0	0	0	80	20	0
Line 3	0	0	0	0	3	4	93	0
Plane	0	0	0	0	0	0	0	100

$f_{ci}$ , モーメント  $\mathbf{n}'_{ci}$ ,  $i=1, 2, \dots, k$  の各成分を与える。ただし、平均 0, 標準偏差 1 とする。また、回転行列を  $R$  とし、 $\mathbf{n}_{ci}$  は

$$\mathbf{n}_{ci} = R\mathbf{n}'_{ci}, \quad i=1, \dots, k$$

で与えられる。ここで  $R$ ,  $\mathbf{n}'_{ci}$  は接触状態に対応して変化する<sup>(6)</sup>。

(II) 接触点位置  $\mathbf{r}_c = \mathbf{x}$  を与える。

(III) 平均 0, 標準偏差  $\sigma$  となるノイズ  $\mathbf{\epsilon}_i$ ,  $i=1, 2, \dots, k$  の各成分を与える。

(IV) 計測される力  $\mathbf{f}_{oi}$ , モーメント  $\mathbf{b}_i$  を求める。

$$\mathbf{f}_{oi} = \mathbf{f}_{ci}$$

$$\mathbf{b}_i = \mathbf{x} \times \mathbf{f}_{ci} + \mathbf{n}_{ci} + \mathbf{\epsilon}_i, \quad i=1, 2, \dots, k$$

収束条件は  $\|\mathbf{X}_t - \mathbf{X}_{t-1}\|^2 / \|\mathbf{X}_t\|^2 \leq 0.001$  とする。ただし、 $\mathbf{X}_t$  は  $t$  回めの繰返しのときの解を要素とするベクトルである。例えば、ソフトフィンガ接触②の場合には  $\mathbf{X}_t = [x_1 \ x_2 \ x_3 \ y \ z_1 \ z_2 \ \dots \ z_k]^T$  とする。 $\sigma=0.05$  の場合の計算例を図 5 に示す。ただし、見やすくするため図 3, 4 とは異なり縦軸を対数でとる。網かけ部分が共通する範囲である。そこでしきい値  $\alpha$  を 0.05 と設定する。このしきい値をもとに接触状態を同定する。

計測モーメント  $\mathbf{b}_i$  の各成分に  $\sigma=0.01$ ,  $\sigma=0.03$ ,  $\sigma=0.05$  のノイズを加えて、計測回数を  $k=10$  として数値計算を各データ 100 回ずつ行ったところ、表 1 の確率で正しく接触状態を同定できた。同定確率がノイズに影響されることがわかる。 $\sigma=0.05$  のときに同定された接触状態の分布を表 2 に示す。ただし、 $Pl$  は面接觸と同定された回数を表現している。ソフトフィンガ接触①のデータは、ソフトフィンガ接触②③と同定され同定確率が低くなっている。これはノイズの増加が接触モーメント  $\mathbf{n}'_{ci}$  にではなく、回転行列  $R$  に影響していると推定される。線接触のデータも同様のことが推定される。しかし、表 3 に示すように計測回数  $k$

Table 3 Ratio of identifying contact conditions with  $\sigma=0.05$ 

	$k$	10	20	30
Point	100	100	100	100
Soft 1	60	87	99	99
Soft 2	78	93	100	100
Soft 3	100	100	100	100
Line 1	57	88	96	96
Line 2	80	95	97	97
Line 3	93	96	94	94
Plane	100	100	100	100

を増やすことで高い同定確率を実現できる。以上より本手法は有効だと考えられる。

## 6. 結 言

本報では、把握対象物の形状、接触位置および接触状態が未知という状況においてこれらの未知接触パラメータをノイズを考慮して同定する問題を取り扱った。本報では、未知接触パラメータの同定には文献(6)を利用し初期値を求め、次いで評価関数を最小にする未知パラメータを繰返し計算により求めた。また、評価関数の大小関係から、接触状態の同定アルゴリズムを提案した。本手法では、接触状態と接触点の位置だけではなく、接触線の方向なども容易に計算することができる。また、計測データのノイズ等の誤差を考慮した手法のため、組立などの精密な位置決めを要する実際の作業などにも応用可能である。

## 文 献

- (1) 永田和之・小笠原司・高瀬國克、接触情報を用いたロボットの把握位置姿勢の推定、計測制御学会論文集, 28-7(1992), 783-789.
- (2) 北垣高成・小笠原司・末広尚士、力覚センシングによる接触状態検出、日本機械学会ロボメカ講演会予稿集, A(1991-6), 45-48.
- (3) 三村宣治・舟橋康行、二次元平面内における 2 本指ロボットハンドの把握パラメータ同定、機論, 58-554, C(1992), 175-181.
- (4) 舟橋康行・橋将博、アクティブセンシングを用いた包み込み把握の接触点同定、機論, 61-589, C(1995), 3607-3613.
- (5) 三村宣治・舟橋康行、アクティブセンシングによる接触パラメータ同定、機論, 60-579, C(1994), 3816-3821.
- (6) 三村宣治・舟橋康行・毛利哲也、接触パラメータの同定アルゴリズム、機論, 63-610, C(1997), 2061-2068.
- (7) Mason, M. T. and Salisbury, J. K., *Robot Hands and the Mechanics of Manipulation*, (1985), 8, Cambridge, MA, MIT Press.